

нам, зависящая от их основности и типа связи в сольвататах. Определены граничные значения разностей основности аминов и растворителей, приводящие к полной мономеризации аминов, и найдены уравнения регрессии зависимости констант димеризации аминов от самоассоциации и сольватации, позволяющие рассчитать константы в других аprotонных растворителях.

1. Иванова А. Г., Кругликовская Е. А. Спектрофотометрическое изучение молекулярных комплексов иода с амилиниами в четыреххлористом углероде.— В кн.: Тр. Том. ун-та, 1975, т. 264, с. 40.
2. Красовицкий Б. М., Вайль Е. И., Савченко О. М. Исследование взаимодействия между аминами и спиртами криоскопическим методом.— Укр. хим. журн., 1956, 22, № 3, с. 330—334.
3. Пальм В. А. Основы количественной теории органических реакций.— Л.: Химия, 1977.— 359 с.
4. Царевская М. Н. Сольватация кислот и аминов аprotонными ароматическими растворителями.— Журн. физ. химии, 1973, 47, № 11, с. 2823—2827.
5. Царевский Н. А., Царевская М. Н. Количественная характеристика самоассоциации триэтиламина и диэтиламина в аprotонных растворителях по криоскопическим данным, обработанным на ЭВМ.— Там же, 1979, 53, № 8, с. 1967—1971.
6. Царевская М. Н., Царевский Н. А. Количественная характеристика самоассоциации ароматических аминов в аprotонных растворителях по обработанным на ЭВМ криоскопическим данным.— Там же, с. 1972—1975.
7. Koppel I. A., Palm V. A. Advances in linear free energy relationships.— London : Pergamon Press, 1970.— 203 p.

Ворошиловградский  
медицинский институт

Поступила 18.04.83

УДК 541.183

## КЛАСТЕРНЫЕ МОДЕЛИ $\gamma$ -ОКСИДА АЛЮМИНИЯ

В. М. Гунько, Л. М. Роев

Известно [1], что  $\gamma$ - $\text{Al}_2\text{O}_3$  имеет структуру дефектной шпинели с ионами алюминия в тетраэдрических и октаэдрических позициях. Квантовохимические расчеты кластеров оксида алюминия проводили методами  $X_\alpha$ —РВ [2—5] и Малликена — Рюденберга [6—8]. В расчетах методом  $X_\alpha$  — РВ оксид моделировался в основном одной ячейкой

### Параметры электронной структуры кластеров оксида алюминия

Номер кластера	Кластер	Полная энергия	$-E_{\text{ВЭМО}}$	$E_{\text{HBMO}}$	$E_{\text{ВМО2}}$
1	$\text{Al}(\text{OAI}(\text{OH})_2(\text{OH}_2)_3)_3\text{OHAi}(\text{OH})_2(\text{OH}_2)_3$	—12947,3	6,1	+3,35	+5,03
2	$\text{Al}(\text{OAI}(\text{OH})_2(\text{OH}_2)_3)_3$	—9707,3	7,9	+3,40	+4,60
3	$\text{Al}(\text{OAI}(\text{OH})_2(\text{OH}_2)_3)_2\text{OHAi}(\text{OH})_3(\text{OH}_2)_2$	—9707,5	7,8	+1,59	+2,75
4	$\text{HOAl}(\text{OAI}(\text{OH})_3(\text{OH})_2)_2\text{OAI}(\text{OH}_2)_3(\text{OH})_2$	—10249,8	7,7	+2,92	+4,56
5	$\text{HOAl}(\text{OAI}(\text{OH})_3)_2\text{OHAi}(\text{OH})_2\text{H}_2\text{O}$	—7001,0	13,1	—2,43	—0,73
6	$\text{HOAl}(\text{OAI}(\text{OH})_3)_2\text{OHAi}(\text{OH})_2\text{H}_2\text{O}$	—7006,8	12,8	—3,47	—2,03
7	$\text{Al}(\text{OAI}(\text{OH})_3)_3$	—6465,8	13,9	—4,22	—0,74
8	$\text{Al}(\text{OAI}(\text{OH})_2)_3$	—4839,7	14,3	—2,41	—1,15
9	$\text{Al}(\text{OAI}(\text{OH})_2)_2\text{OAI}(\text{OH})_2\text{H}_2\text{O}$	—5387,6	13,2	—1,94	—0,96
10	$\text{Al}(\text{OAI}(\text{OH})_2)_2\text{OAI}(\text{OH}_2)_3(\text{OH})_2$	—6473,1	11,5	—1,09	—0,35
11	$\text{HOAl}(\text{OAI}(\text{OH})_2\text{H}_2\text{O})_2\text{OAI}(\text{OH})_2$	—6998,2	10,3	—0,20	+2,32
12	$\text{Al}(\text{OAI}(\text{OH})_2\text{OH}_2)_3$	—6459,6	12,4	+0,22	+1,99
13	$\text{Al}_5\text{O}_{14}\text{H}_{13}$	—7542,5	13,1	—2,83	—1,37
14	$\text{AlOAl}(\text{OH})_2(\text{OAI}(\text{OH})_2\text{H}_2\text{O})_3$	—8048,4	9,4	+0,76	+1,69
15	$\text{Al}_8\text{O}_{12}$	—6451,8	13,8	—3,14	—1,60

$\text{AlO}_4^{5-}$  или  $\text{AlO}_6^{9-}$ , что в некоторой степени ограничивает возможности исследования влияния окружения на свойства центрального иона металла. В работах [6—8] использовали так называемый псевдомолекулярный стехиометрический кластер с укороченным базисом для ионов на границах модели, включающий одну или две элементарные ячейки кристалла. Результаты, полученные при исследовании адсорбции метанола,  $\text{KOH}$ ,  $\text{HON}$ ,  $\text{HF}$  и др., в качественном отношении правильно воспроизводят взаимодействие адсорбат — адсорбент. Однако в рамках этого метода значения некоторых параметров существенно отличаются от экспериментальных, например орбитальные энергии занижены более чем на 10 эВ. Поэтому представляет интерес рассмотреть кластерные модели оксида алюминия с помощью других методов при включении во фрагменты кристалла большего количества элементарных ячеек. Последнее позволит моделировать все возможные структуры как в объеме оксида, так и на его поверхности.

В исследованиях [2—8] установлено, что ионы  $\text{Al}$  в октаэдрическом окружении ( $\text{Al}_{\text{oct}}$ ) являются менее «кислыми» льюисовскими центрами, чем ионы  $\text{Al}$ , находящиеся в тетраэдрических позициях ( $\text{Al}_{\text{tet}}$ ). В ряде катализитических реакций (дегидратация спиртов, алкилирование фенолов и др.) активными центрами (АЦ) поверхности твердого тела являются ионы  $\text{Al}_{\text{tet}}$ , а ионы  $\text{Al}_{\text{oct}}$  практически не участвуют в катализитических актах. Перед использованием оксида алюминия в качестве катализатора его обычно тренируют при высоких температурах ( $500^\circ$  и выше). Термообработка приводит к дегидратации поверхности с образованием многочисленных дефектов, которые в структурном отношении соответствуют уменьшению координационного числа (к. ч.) у поверхностных ионов алюминия с 4 до 3 и с 6 до 5 и ниже. Следовательно, при рассмотрении кластеров  $\gamma\text{-Al}_2\text{O}_3$  необходимо исследовать различные сочетания ячеек с ионами  $\text{Al}$ , имеющими к. ч. по кислороду от 3 до 6. Такого типа структуры рассчитывали методом ППДП/2, используя «сдвиг уровней» [9] для улучшения сходимости процесса самосогласования. На границах кластеров оборванные связи замыкали атомами водорода, то есть в модель включали  $\text{OH}$ - и  $\text{OH}_2$ -группы, естественным образом входящие в состав частично дегидроксилированной поверхности оксида алюминия. Длины связей  $\text{Al}-\text{O}$  изменяли от 0,1825 до 0,1875 нм в зависимости от характера окружения иона металла. Во всех кластерах длина  $\text{O}-\text{H}$  связи составляла 0,096 нм. Валентные углы выбирали согласно данным [1].

Изучение оксида алюминия начнем с кластера К-1, центральная ячейка которого содержит ион  $\text{Al}_{\text{tet}}$  и окружена 4 ячейками с ионами

$E_{\text{ВМОЗ}}$	$q_{\text{Al}}$	$q_{\text{Al}_{\text{cp}}}$	$w_{\text{Al}_{\text{II}}\text{O}}$	$w_{\text{Al}\text{Al}}$	$w_{\text{OH}}$	$w_{\text{AlO}}$	$-q_{\text{O}_{\text{II}}}$	$-q_{\text{O}}$	$q_{\text{H}_\text{K}}$	$q_{\text{H}_{\text{MOS}}}$	$-q_{\text{O}_{\text{MOS}}}$	$-E_{\text{атом}}$
+5,09	-0,056	0,017	1,114	0,100	0,925	0,770	0,339	0,302	0,227	0,214	0,218	287,5
+4,80	+0,222	0,016	1,351	0,116	0,924	0,767	0,377	0,270	0,235	—	—	212,1
+3,64	+0,380	0,038	1,255	0,100	0,919	0,761	0,314	0,297	0,222	0,228	0,155	212,3
+4,75	+0,011	0,020	1,115	0,097	0,924	0,769	0,313	0,270	0,213	0,222	0,211	227,8
+0,49	+0,300	0,196	0,999	0,080	0,886	1,223	0,213	0,348	0,210	0,278	0,180	139,8
-0,47	+0,613	0,448	0,884	0,070	0,901	1,162	0,235	0,380	0,145	0,266	0,164	145,6
-0,65	+0,823	0,401	1,039	0,073	0,895	1,167	0,275	0,350	0,147	0,242	0,242	131,4
-1,15	+0,429	0,633	1,247	0,162	0,924	1,172	0,306	0,389	0,154	—	—	85,7
-0,17	+0,432	0,554	1,262	0,142	0,949	1,163	0,318	0,380	0,149	—	—	124,2
+0,42	+0,457	0,500	1,250	0,137	0,884	1,215	0,345	0,404	0,175	—	—	138,7
+2,62	-0,001	0,133	1,104	0,120	0,886	1,222	0,281	0,373	0,171	—	—	137,0
+2,35	+0,358	0,068	1,277	0,157	0,885	1,239	0,271	0,367	0,185	—	—	125,2
-0,37	+0,230	0,226	0,975	0,129	0,889	1,210	0,175	0,380	0,177	0,299	,185	151,3
+1,82	+0,024	0,216	1,134	0,139	0,880	1,221	0,212	0,334	0,180	—	—	147,8
-0,52	+0,331	0,331	1,273	0,166	—	1,273	0,221	0,221	—	—	—	212,1

$\text{Al}_{\text{oxt}}$ :  $\text{Al}(\text{OAl}(\text{OH})_2(\text{OH}_2)_3)_3\text{OHAI}((\text{OH})_2(\text{OH}_2)_3)$  (таблица и рис. 1, а). Количество атомов водорода в этой модели, как и во всех остальных случаях, определяется требованием формальной нейтральности кластера. В таблице приведены значения параметров, усредненные по всему кластеру, исключая заряд на центральном ионе  $\text{Al}$  ( $q_{\text{Al}}$ ). Так,  $q_{\text{Al}_{\text{cp}}}$  — средний заряд ионов  $\text{Al}$  в боковых ячейках,  $W_{\text{Al}_{\text{цо}}\text{O}}$  — усредненное значение индексов Вайберга связей  $\text{Al}-\text{O}$  в центральной ячейке модели, то же самое

для индекса  $W_{\text{Al}_{\text{цо}}\text{Al}}$ . Величины индексов  $W_{\text{O}\text{H}}$  и  $W_{\text{Al}\text{O}}$  усреднены по всему кластеру, а  $q_{\text{O}_{\text{цо}}}$  — только по центральной ячейке. Значения остальных зарядов — ионов кислорода  $q_{\text{O}}$ , атомов водорода мостиковых  $\text{OH}$ -групп  $q_{\text{H}_{\text{мос}}}$  и концевых групп  $q_{\text{H}_{\text{k}}}$  и ионов кислорода мостиковых групп  $q_{\text{O}_{\text{мос}}}$  — средние для всего кластера.

Известно, что потолок валентной зоны  $E_v$  оксида алюминия находится на уровне около  $-8,1$  эВ, а дно зоны проводимо-

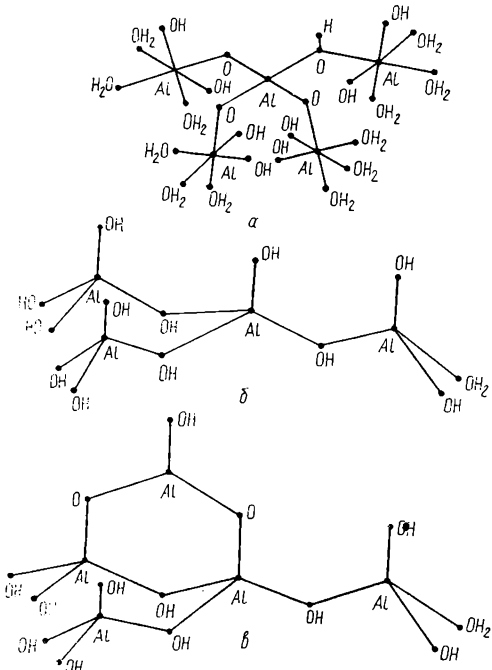


Рис. 1. Кластеры, моделирующие оксид алюминия: структура, содержащая мостики  $\text{Al}_{\text{oxt}}-\text{O}-\text{Al}_{\text{тет}}-\text{O}-\text{Al}_{\text{oxt}}$  (а),  $\text{Al}_{\text{тет}}-\text{O}-\text{Al}_{\text{тет}}-\text{O}-\text{Al}_{\text{тет}}$  (б) и кластер, включающий шестичленный цикл с выдвинутым над поверхностью трехкоординированным ионом  $\text{Al}$  (в).

сти  $E_c$  — около  $-0,8$  эВ [10]. Сопоставляя эти значения с результатами расчета (таблица), видим, что в К-1 орбитальная энергия верхней занятой МО  $E_{\text{взмо}}$  на  $2,0$  эВ выше, чем  $E_v$ , в запрещенной зоне  $E_c-E_v$  нет уровней и энергия нижней вакантной МО ( $E_{\text{нвмо}}$ ) лежит выше  $E_c$  более чем на  $4$  эВ. По-видимому, сдвиг орбитальных энергий кластера вверх вызван, в первую очередь, наличием в системе  $12 \text{ OH}_2$ -групп. Известно [7], что адсорбция молекул воды приводит к значительному повышению энергий акцепторных состояний, которые остались незаполненными в процессе взаимодействия адсорбат—адсорбент. Но, судя по  $E_{\text{нвмо}}$ , в К-1 все акцепторные уровни заняты. Кроме того, в К-1 отсутствуют дефекты структуры, то есть моделируются только объемные свойства оксида алюминия. В этом случае в системе может быть только одно акцепторное состояние, появление которого обусловлено наличием мостиковой  $\text{OH}$ -группы в центральной ячейке кластера (см. рис. 1, а). О заполненности возможного акцепторного состояния в К-1 свидетельствуют значения зарядов на ионах  $\text{Al}$ , причем на центральном ионе металла заряд отрицательный (см. таблицу,  $q_{\text{Al}}$ ).

Кластер К-2 отличается от К-1 тем, что в нем отсутствует одна ячейка с  $\text{Al}_{\text{oxt}}$  и нет мостиковой  $\text{OH}$ -группы (см. таблицу), то есть моделируется возможная структура на поверхности оксида. В этом случае  $E_{\text{взмо}}$  почти точно соответствует значению  $E_v$ , но вакантные уровни плохо описывают акцепторное состояние  $E_{\text{нвмо}}$  и дно зоны проводимости ( $E_{\text{вмо2}}$  — энергия второго вакантного уровня). Последнее, как и в К-1, связано с наличием большого количества хемосорбированных молекул воды. Подтверждением данному выводу служит расчет К-3 (см. таблицу), который отличается от К-2 тем, что из одной молекулы  $\text{H}_2\text{O}$  на границе модели удален атом водорода и образована мостико-

вая OH-группа в центральной ячейке, то есть хемосорбция молекулы воды в K-2 заменена в K-3 диссоциативной хемосорбцией. Этот процесс энергетически выгоден:  $\Delta E = -0,2$  эВ. Энергия  $E_{\text{взмо}}$  осталась практически на том же уровне, а  $E_{\text{НВМО}} = -1,81$  эВ. Кроме того, заряды на ионах Al стали более положительными (см. таблицу,  $q_{\text{Al}}$  и  $q_{\text{Al}_{\text{cp}}}$ ). Бренстедовская кислотность мостиковой OH-группы в центральной ячейке K-3 увеличилась относительно K-1. Так, заряд  $q_{\text{H}_{\text{мос}}}$  изменился на  $+0,014e$ , а индекс Вайберга связи O—H<sub>мос</sub> уменьшился на 0,013. Следовательно, наличие дефекта в центральной ячейке K-3 приводит к усилению не только льюисовской кислотности АЦ иона алюминия ( $E_{\text{НВМО}}, q_{\text{Al}}$ ), но и к увеличению кислотных свойств соседних с АЦ мостиковых OH-групп. Это соответствует тому, что подобные дефекты являются сдвоенными АЦ каталитических процессов, проходящих на поверхности оксида алюминия.

Диссоциативная хемосорбция молекулы H<sub>2</sub>O на центральной ячейке K-3 (см. таблицу, K-4) приводит к уменьшению и льюисовской кислотности АЦ ( $E_{\text{НВМО}}, q_{\text{Al}}$ ) и бренстедовской кислотности мостиковых OH-групп ( $q_{\text{H}_{\text{мос}}}$ ). Следовательно, кислотность АЦ ионов алюминия максимальна в дефектных структурах (к. ч.=3 в K-3) и минимальна — в регулярных, кроме того, она уменьшается при адсорбции молекул воды (молекулярная > диссоциативная).

Кластеры 2—4 моделируют незначительные дефекты поверхности, поэтому мы не наблюдаем в запрещенной зоне акцепторных уровней ( $E_{\text{НВМО}} > E_c$ ). Для исследования сильных льюисовских кислотных центров изменим состав боковых ячеек кластеров и от Al<sub>окт</sub> перейдем к Al<sub>тет</sub>. В K-5 центральный ион Al<sub>тет</sub> окружен тремя ячейками OHAl(OH)<sub>3</sub> и, кроме того, имеет концевую OH<sub>2</sub>-группу (см. рис. 1, б). Сочетание ячеек в K-5 соответствует значительным дефектам поверхности, так как, согласно [1], в  $\gamma\text{-Al}_2\text{O}_3$  стационарная поверхность не содержит мостики Al<sub>тет</sub>—O—Al<sub>тет</sub>. Изменение структуры кластера связывается на значениях всех параметров.  $E_{\text{взмо}}$  лежит значительно ниже, чем в кластерах 1—4. В запрещенной зоне появляется стабилизованный акцепторный уровень —  $E_{\text{НВМО}}$ . НВМО локализована на ионах алюминия K-5. Вторая вакантная MO (BMO2) также локализована на ионах Al и ее орбитальная энергия близка по величине к  $E_c$ . Заряды на ионах Al в боковых ячейках больше, чем в кластерах 1—4, что связано с переходом Al<sub>окт</sub>→Al<sub>тет</sub> и уменьшением числа дополнительных атомов водорода, введенных в K-5 для нейтрализации его формального заряда. Указанный переход ведет к изменению структуры связей Al—O как в центральной ячейке, так и в боковых. Если в первой связи становятся менее прочными, то в последних наблюдается обратное (см. таблицу,  $W_{\text{Al}_{\text{ц}}\text{O}}$  и  $W_{\text{Al}\text{O}}$ ). Кислотность мостиковых OH-групп растет ( $q_{\text{H}_{\text{мос}}}$ ) и в целом все связи O—H в K-5 менее прочные ( $W_{\text{OH}}$ ).

Кластер K-6 по составу такой же, как и K-5, но для поверхностных OH-групп проведена оптимизация геометрических параметров. Отметим, что в модельных кластерах используется два типа OH-групп: первый — поверхностные (на рис. 1, б расположены в верхней части), валентный угол AlOH равен 107—109°; второй — группы, моделирующие связи кластера с остальной частью твердого тела, валентный угол выбирается из условия сохранения направления связи с ионом Al решетки. В процессе проведенной оптимизации в K-6 получены следующие величины для длин связей  $r_{\text{AlO}} = 0,2071$  нм и  $r_{\text{OH}} = 0,1039$  нм, то есть они несколько превышают экспериментальные значения. В K-6 в запрещенную зону попали два акцепторных уровня  $E_{\text{НВМО}}$  и  $E_{\text{ВМО2}}$ , а третий свободный уровень  $E_{\text{ВМО3}}$  лежит чуть выше дна зоны проводимости  $E_c$ . Понижение орбитальных энергий вакантных MO сопровождается ростом положительного заряда на ионах Al, особенно на центральном (Al<sub>ц</sub>). Вклад AO Al<sub>ц</sub> в вакантные орбитали увеличивается на 10—20 %, то есть акцепторные уровни в большей степени лока-

лизуются именно на центральной ячейке кластера. Степень этой локализации еще больше возрастает в К-7, который отличается от К-6 тем, что на центральном ионе Al отсутствует поверхностная OH-группа. Расчет К-7 также проведен с оптимизацией геометрии оставшихся поверхностных OH-групп. При переходе K-6→K-7 изменения величин  $q_{Al}$  и  $q_{Al_{cep}}$  носят противоположный характер, также как и для  $E_{Hvmo}$  и  $E_{Vm02}$  (см. таблицу).

Кластер К-8 (см. таблицу) получен при удалении всех поверхностных OH-групп в К-5. В запрещенной зоне находится три уровня.  $E_{Vm02}$  и  $E_{Vm03}$  вырождены вследствие симметрии кластера — точечная группа  $C_{3v}$  — и лежат близко ко дну зоны проводимости  $E_c$ . Льюисовская кислотность центральной ячейки в К-8 ниже, чем в К-7 ( $q_{Al}$  и  $E_{Hvmo}$ ), но заряды в боковых ячейках в К-8 выше, вследствие чего  $E_{Vm02}$  и  $E_{Vm03}$  лежат ниже, чем в К-7. Следовательно, в К-8 все ионы алюминия обладают высокой кислотностью, в то время как в К-7 аномально высокой кислотностью характеризуется только ион Al центральной ячейки.

В кластере К-9 одна боковая ячейка имеет  $Al_{tet}$ , а в К-10 —  $Al_{okt}$  (см. таблицу). С ростом к. ч. у нецентрального иона Al заряд ионов  $Al_{\text{ц}}$  увеличивается, в боковых ячейках наблюдается обратный процесс, кроме того, монотонно растут значения орбитальных энергий в валентной зоне ( $E_{Vzmo}$ ), запрещенной ( $E_{Hvmo}$ ) и в зоне проводимости ( $E_{Vm02}$  и выше). Изменения величин зарядов ионов Al менее заметны, чем изменения орбитальных энергий. При оценке льюисовской кислотности кластеров 8—10 по этим параметрам мы приходим к противоречию: по значениям вакантных орбиталей кислотность K-8→K-9→K-10 уменьшается, так же как и по зарядам для нецентральных ионов Al, а изменение заряда  $Al_{\text{ц}}$  свидетельствует об обратном. В работах [6—8] высказывалось предположение, что для сравнения кислотных свойств АЦ  $\gamma\text{-Al}_2\text{O}_3$  в рамках кластерного подхода более надежной характеристикой является энергетический параметр  $E_{Hvmo}$ , а не заряд ионов алюминия. По-видимому, это положение справедливо и в данном случае.

Кластер К-11 по составу воспроизводит К-5, но все мостиковые OH-группы в центральной ячейке заменены на OH<sub>2</sub>-группы на границах модели. Кислотность кластера настолько уменьшилась, что заряд  $q_{Al}$  стал меньше нуля и акцепторные уровни из запрещенной зоны переместились значительно выше (см. таблицу). Как и в случае К-2 и К-3, данные для К-11 свидетельствуют о выгодности диссоциативной адсорбции молекул H<sub>2</sub>O на  $\gamma\text{-Al}_2\text{O}_3$  (К-5), так, при переходе K-5→K-11 изменение полной энергии  $\Delta E$  равно 2,8 эВ. Переход K-7→K-12 аналогичен предыдущему и подтверждает этот вывод (см. таблицу).

В кластере К-13 (рис. 1, в) моделируется образование шестичленного цикла с выдвинутым над поверхностью оксида ионом Al. Основная часть К-13 аналогична структуре К-5, только две поверхностные группы на соседних ионах Al заменены на фрагмент O<sub>2</sub>AlOH. Кислотность К-13 по энергии акцепторного состояния ( $E_{Hvmo}$ ) выше, чем у К-5, но заряд на ионе Al<sub>ц</sub> почти нулевой. Заряды в боковых ячейках практически не изменились.

Кластер К-14 отличается от К-13 отсутствием циклической связи (выдвинутый над поверхностью ион Al связан только с центральной ячейкой) и мостиковых OH-групп, то есть на границах образованы OH<sub>2</sub>-группы. Как и ранее, введение OH<sub>2</sub>-групп сильно уменьшает льюисовскую кислотность АЦ (см. таблицу).

Кластер К-15, сформированный без привлечения атомов водорода на границах, коренным образом отличается от ранее рассмотренных систем. В [5] аналогичная структура рассчитывалась методом  $X_{\alpha}$  — РВ. Ионы Al находятся в вершинах куба с ребром длиной в 0,341 нм а ионы O лежат над ребрами куба (точечная группа симметрии кластера O<sub>h</sub>, локальная симметрия ближайшего окружения ионов Al—C<sub>3v</sub>)

Такое построение не соответствует возможным поверхностным структурам, но может рассматриваться как приближенная модель АЦ с координационно ненасыщенными ионами алюминия. Уровень  $E_{\text{НВМО}}$  в К-15 (невырожденный, тип симметрии  $a_{1g}$ ) находится в запрещенной зоне, так же как и следующий трехкратно вырожденный уровень  $E_{\text{ВМО}2}$  (тип  $t_g$ ). Уровень  $E_{\text{ВМО}3}$  также трехкратно вырожденный ( $-0,52$  эВ). Расчет методом  $X_\alpha$  — РВ дает пять акцепторных уровней в запрещенной зоне и, если их значения сопоставить с полученными

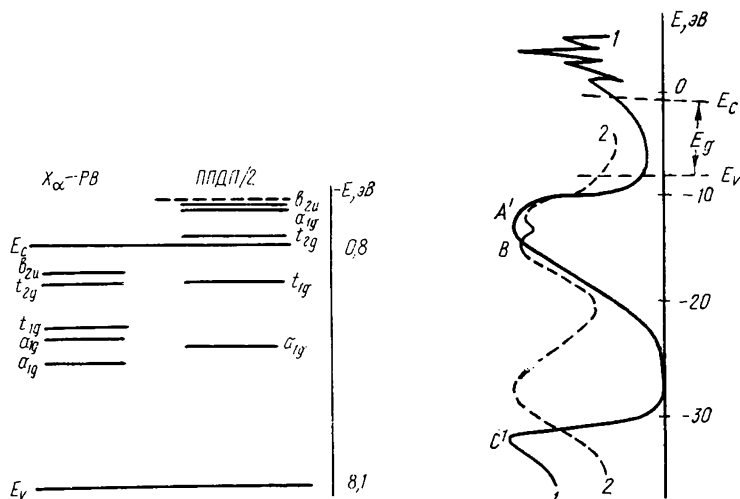


Рис. 2. Уровни орбитальных энергий в запрещенной зоне оксида алюминия, рассчитанные методами  $X_\alpha$  — РВ [5] и ППДП/2.

Рис. 3. Интегральная плотность состояний в валентной зоне кластера  $\text{Al}(\text{OAl(OH)}_2)_3$  (1) и РЭС оксида алюминия [10] (2).

нами, то необходимо отнести дно зоны проводимости к уровню  $\sim +0,50$  эВ (см. рис. 2). Количество уровней в запрещенной зоне в этом случае будет такое же, как и в [5], только уровень типа  $a_{1g}$  (0,28 эВ) переместился выше уровня  $t_g$ . Порядок остальных уровней в запрещенной зоне одинаков. Следовательно, потолок валентной зоны в расчетах методом ППДП/2 сдвинут вниз (см. таблицу,  $E_{\text{ВМО}}$ , и рис. 2), а дно зоны проводимости — вверх (см. рис. 2,  $E'_c$ ). Но в качественном отношении данные метода ППДП/2 об акцепторных уровнях в запрещенной зоне вполне сравнимы с результатами расчетов методом  $X_\alpha$  — РВ (по количеству уровней в этой зоне и по значениям  $E_{\text{НВМО}}$ , которые почти совпадают). Однако по значениям некоторых параметров, например  $E_c$ , расхождение весьма заметное. Поэтому при использовании метода ППДП/2 для расчетов в рамках кластерного подхода оксидов металлов и процессов адсорбции на их поверхности лучше использовать относительные изменения орбитальных энергий акцепторных состояний, чем их абсолютные значения.

В качестве доказательства корректности рассмотренных моделей оксида алюминия проведем сопоставление его рентгеноэлектронных спектров (РЭС) [10] с рассчитанной нами интегральной плотностью состояний в валентной зоне кластеров. Плотность состояний вычислялась в соответствии с работой [11] для наиболее простого кластера (таблица, К-8), моделирующего дегидратированную поверхность  $\gamma\text{-Al}_2\text{O}_3$ . На рис. 3 представлена плотность состояний  $\rho(E, \sigma)$  и РЭС  $\text{Al}_2\text{O}_3$  [10]. Из рисунка видно, что экспериментальные пики А и В слились в один пик на теоретической кривой (возможно, вследствие того, что расчет проводился с достаточно большим шагом по  $E = 1,0$  эВ и для одного значения  $\sigma = 1$ ). В целом у потолка валентной зоны ход теоретической кривой хорошо соответствует РЭС. Нижняя часть валентной зоны ( $<-20$  эВ) передана хуже. Это вызвано, по-видимому, тем,

что метод ППДП/2 занижает уровни энергий заполненных МО и поэтому наблюдается сдвиг максимума плотности состояний у дна валентной зоны вниз по энергетической шкале. Однако большинство процессов в катализе на поверхности оксидов сопровождается вовлечением в ходе реакции электронов твердого тела, находящихся у потолка валентной зоны, либо участием «дырок» запрещенной зоны. В качественном отношении эти участки в расчетах плотности состояний переданы удовлетворительно.

Таким образом, исходя из сравнения с экспериментом и расчетами, выполненными методом  $X_\alpha - \text{PB}$ , можно заключить, что метод ППДП/2 вполне пригоден для моделирования активных центров поверхности оксида алюминия. В процессе проведенных расчетов установлено влияние структуры кластеров, соответствующих возможным дефектам поверхности при наличии OH- и OH<sub>2</sub>-групп, на льюисовскую кислотность АЦ оксида. Показано, что введение в модели Al<sub>2</sub>O<sub>3</sub> электронодонорных OH<sub>2</sub>-групп приводит к неудовлетворительным результатам в описании зонной структуры оксида алюминия и поверхностных акцепторных состояний. Наиболее удовлетворительные результаты получены для кластеров, содержащих на границах только OH-группы.

1. Knözinger H., Ratnasamy P. Catalytic aluminas: surface models and characterization of surface sites.—Catal. Rev. Sci. Eng., 1978, 17, N 1, p. 31—70.
2. Tossell J. A. The electronic structure of silicon, aluminium and magnesium in tetrahedral coordination with oxygen from SCF-X<sub>a</sub>MO calculation.—J. Amer. Chem. Soc., 1975, 97, N 17, p. 4840—4844.
3. Tossell J. A. The electronic structure of Mg, Al and Si in octahedral coordination with oxygen from SCF-X<sub>a</sub>MO calculation.—J. Phys. Chem. Solids, 1975, 36, N 5, p. 1273—1280.
4. Гагарин С. Г., Губский А. Л. Влияние внешнего поля на электронную структуру кластеров оксида алюминия в приближении X<sub>a</sub> рассеянных волн.—Теорет. и эксперим. химия, 1980, 16, № 1, с. 60—66.
5. Гагарин С. Г., Тетерин Ю. А., Губский А. Л. Квантовохимический анализ и идентификация методом рентгеноэлектронной спектроскопии локальных состояний оксида алюминия.—Там же, 1981, 17, № 4, с. 507—514.
6. Особенности взаимодействия метанола с поверхностью оксида алюминия / П. Я. Гохберг, А. О. Литинский, Б. Н. Горбунов и др.—Журн. физ. химии, 1976, 50, № 9, с. 2420—2421.
7. Влияние модификаторов и адсорбированных молекул на льюисовскую кислотность поверхности γ-Al<sub>2</sub>O<sub>3</sub> / П. Я. Гохберг, А. О. Литинский, А. П. Хардин, А. В. Бережюнас.—Кинетика и катализ, 1981, 22, № 5, с. 1169—1173.
8. Поверхностные акцепторные состояния и их связь с апротонной кислотностью γ-Al<sub>2</sub>O<sub>3</sub> / П. Я. Гохберг, А. О. Литинский, А. П. Хардин и др.—Там же, 1980, 21, № 4, с. 927—932.
9. Маслов В. Г. О применении метода «сдвига уровней» для обеспечения сходимости в полуэмпирических квантовохимических расчетах.—Журн. структур. химии, 1979, 20, № 4, с. 761—763.
10. Брытов И. А., Ромашенко Ю. Н. Энергетические схемы окислов кремния и алюминия.—Физика тверд. тела, 1978, 20, № 9, с. 2843—2846.
11. Salahub D. R., Messmer R. P. Molecular-orbital study of aluminum cluster containing up to 43 atoms.—Phys. Rev., B, 1977, 16, N 6, p. 2526—2537.

Отделение нефтехимии Института  
физико-органической химии и углехимии АН УССР, Киев

Поступила 25.01.83

УДК 539.196

## РЕАКЦИИ ЭТИЛЕНА С АЗОТОМ И КИСЛОРОДОМ В ПУЧКОВО-ПЛАЗМЕННОМ РАЗРЯДЕ БЕЗ МАГНИТНОГО ПОЛЯ

В. И. Лутошкин, С. В. Волков, В. А. Барлетов, В. П. Коваленко, Н. И. Курильчик

Одним из способов создания неравновесной химически активной плазмы является пучково-плазменный разряд (ППР) [1], возникающий при инжекции интенсивного электронного пучка в разреженный газ